

## Phosphaniminato-Komplexe von Zirconium und Hafnium mit clusterähnlichem Aufbau

Marion Grün, Frank Weller, Kurt Dehnicke\*

Marburg, Fachbereich Chemie der Universität

Bei der Redaktion eingegangen am 23. Juli 1996.

*Professor Walter Siebert zum 60. Geburtstag gewidmet*

**Inhaltsübersicht.** Die Tetrachloride von Zirconium und Hafnium reagieren mit überschüssigem Phosphanimin  $\text{Me}_3\text{SiNPM}_3$  bei  $220^\circ\text{C}$  in Gegenwart von Natriumfluorid unter Abspaltung von  $\text{FSiMe}_3$  und Bildung der komplexen Ionenverbindungen  $[\text{Zr}_3\text{Cl}_6(\text{NPM}_3)_5]^+[\text{Zr}_2\text{Cl}_6(\text{NPM}_3)_3]^-$  und  $[\text{Hf}_3\text{Cl}_6(\text{NPM}_3)_5]^+[\text{Hf}_2\text{Cl}_7(\text{NPM}_3)_2]^-$ . Nach Kristallstrukturanalysen bilden in den Kationen die drei Metallatome zusammen mit drei  $\text{NPM}_3^-$ -Gruppen mit  $\mu_2$ -N-Funktion und zwei  $\text{NPM}_3^-$ -Gruppen mit  $\mu_3$ -N-Funktion tri-

gonale Bipyramiden. Im Anion des Zirconium-Komplexes sind die Zr-Atome über drei  $\mu_2$ -N-Brücken verknüpft, während im Anion der Hafnium-Verbindung die Hf-Atome über zwei  $\mu_2$ -N-Brücken und eine  $\mu_2$ -Cl-Brücke verbunden sind. Primärprodukte bei der Reaktion von  $\text{MCl}_4$  ( $\text{M} = \text{Zr}, \text{Hf}$ ) mit silylierten Phosphaniminen sind Donor-Akzeptor-Komplexe, von denen das Beispiel  $[\text{ZrCl}_4(\text{Me}_3\text{SiNPPh}_3)]$  kristallographisch charakterisiert wurde. In dem Molekül-Komplex ist das Zr-Atom trigonal-bipyramidal koordiniert.

## Phosphoraneiminato Complexes of Zirconium and Hafnium with Clusterlike Structures

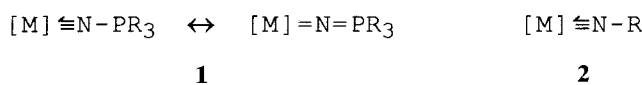
**Abstract.** The tetrachlorides of zirconium and hafnium react with excess phosphoraneimine  $\text{Me}_3\text{SiNPM}_3$  at  $220^\circ\text{C}$  in the presence of sodium fluoride by cleaving  $\text{FSiMe}_3$  to form the ionic complexes  $[\text{Zr}_3\text{Cl}_6(\text{NPM}_3)_5]^+[\text{Zr}_2\text{Cl}_6(\text{NPM}_3)_3]^-$  and  $[\text{Hf}_3\text{Cl}_6(\text{NPM}_3)_5]^+[\text{Hf}_2\text{Cl}_7(\text{NPM}_3)_2]^-$ . According to crystal structure analyses in the cations the three metal atoms together with three  $\mu_2$ - $\text{NPM}_3^-$  groups and two  $\text{NPM}_3^-$  groups with  $\mu_3$ -function are forming trigonal bipyramids. In the anion of the zirconium complex the Zr atoms are linked by three  $\mu_2$ -N bridges, whereas in the anion of the hafnium

compound bridging is effected by two  $\mu_2$ -N bridges and one  $\mu_2$ -Cl bridge. Primary products in the reaction of  $\text{MCl}_4$  ( $\text{M} = \text{Zr}, \text{Hf}$ ) with silylated phosphoraneimines are donor-acceptor complexes like  $[\text{ZrCl}_4(\text{Me}_3\text{SiNPPh}_3)]$  which has been characterized crystallographically as an example. In the molecular complex the Zr-atom is coordinated in a trigonal bipyramidal fashion.

**Keywords:** Zirconium; Hafnium; Phosphoraneiminato Complexes; Crystal Structure

### 1 Einleitung

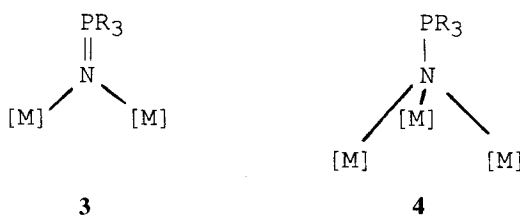
Phosphaniminato-Komplexe elektronenärmer Übergangsmetalle in hohen Oxidationsstufen enthalten den  $\text{NPR}_3^-$ -Liganden meist in gestreckter oder weitgehend linearer Anordnung **1** [1].



\* Korrespondenzadresse:

Prof. Dr. K. Dehnicke  
Fachbereich Chemie der Philipps-Universität  
D-35032 Marburg

Der Bindungsmodus ist vergleichbar mit dem von Imido-Komplexen **2**, da beide Ligandengruppen  $\text{NPR}_3^-$  und  $\text{NR}^{2-}$  – wie  $\text{C}_5\text{H}_5^-$  – über einen ( $\sigma$ ,  $2\pi$ )-Donor-Satz verfügen. Überlegungen zur formalen Isolobal-Beziehung zwischen Cyclopentadienyl- und Imido-Ligand erfordern wegen dessen höherer Ladung eine Verschiebung des Übergangsmetalls um eine Stelle im Periodensystem nach rechts [2–9], während der Phosphaniminato-Ligand den Vergleich am selben Metallzentrum erlaubt [10]. Neben dem Typ **1** kennt man den  $\text{NPR}_3^-$ -Liganden auch als  $\mu_2$ -N-Brückenliganden **3** [11] sowie in elektronenreichen Metallkomplexen mit Heterocuban-Struktur als  $\mu_3$ -N-Brückenliganden **4** [12].



Die kristallographischen Daten der Kristallstrukturanalysen enthält Tabelle 1, die Tabellen 2–4 ausgewählte Bindungslängen und -winkel, die Tabellen 5–7 die Atomkoordinaten.<sup>1)</sup>

Zur Synthese der Phosphaniminato-Komplexe haben wir die Tetrachloride von Zirconium und Hafnium mit silylierten Phosphaniminen  $\text{Me}_3\text{SiNPR}_3$

## 2 Ergebnisse

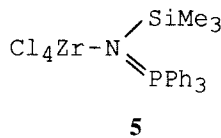
Wir berichten hier über die ersten Phosphaniminato-Komplexe von Zirconium und Hafnium, in denen beide Brückentypen **3** und **4** realisiert sind.

<sup>0)</sup> Weitere Einzelheiten zu den Kristallsstrukturuntersuchungen können beim Fachinformationszentrum Karlsruhe, D-76344 Eggenstein-Leopoldshafen, unter Angabe der Hinterlegungsnummern CSD-405543 (**5**), 405541 (**6**) und 405542 (**7**) angefordert werden.

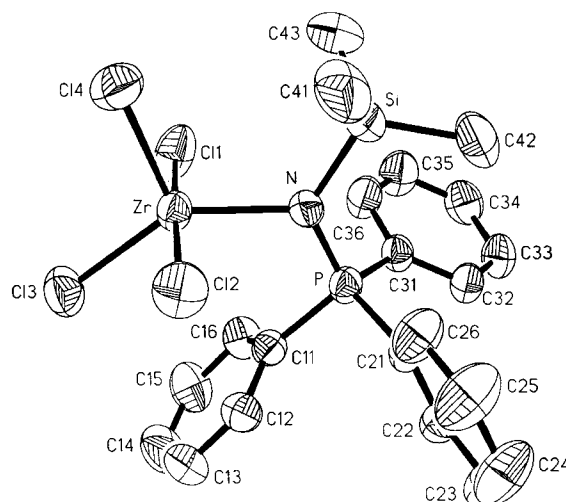
**Tabelle 1** Kristallographische Daten und Angaben zu den Strukturlösungen

	$\text{ZrCl}_4(\text{Me}_3\text{SiNPPh}_3) \cdot 0,5 \text{CH}_2\text{Cl}_2$ ( <b>5</b> )	$[\text{Zr}_3\text{Cl}_6(\text{NPMe}_3)_5]^+$ $[\text{Zr}_2\text{Cl}_6(\text{NPMe}_3)_3]^-$ $\cdot 3 \text{CH}_2\text{Cl}_2$ ( <b>6</b> )	$[\text{Hf}_3\text{Cl}_6(\text{NPMe}_3)_5]^+$ $[\text{Hf}_2\text{Cl}_7(\text{NPMe}_3)_2]^-$ $\cdot 5 \text{CH}_2\text{Cl}_2$ ( <b>7</b> )
Gitterkonstanten	$a = 984,1(1)$ $b = 991,2(1)$ $c = 1757,3(1) \text{ pm}$ $\alpha = 86,08(1)^\circ$ $\beta = 74,80(1)^\circ$ $\gamma = 62,99(1)^\circ$ $1471,2(2)$	$a = 1797,2(4)$ $b = 1182,6(2)$ $c = 3487,7(7) \text{ pm}$ $\beta = 99,02(3)^\circ$ $7321(3)$	$a = 1364,2(1)$ $b = 1522,9(1)$ $c = 1901,6(1) \text{ pm}$ $\alpha = 86,17(1)^\circ$ $\beta = 73,87(1)^\circ$ $\gamma = 86,66(1)^\circ$ $3783,3(4)$
Zellvolumen [ $\text{\AA}^3$ ]			
Zahl der Formeleinheiten pro Zelle	$Z = 2$	$Z = 4$	$Z = 2$
Dichte (berechnet) [ $\text{g/cm}^3$ ]	$\rho = 1,411$	$\rho = 1,685$	$\rho = 2,114$
Kristallsystem, Raumgruppe	triklin, $P\bar{1}$	monoklin, $P2_1/n$	triklin, $P\bar{1}$
Meßgerät	Vierkreisdiffraktometer Enraf-Nonius CAD4	Vierkreisdiffraktometer Enraf-Nonius CAD4	Vierkreisdiffraktometer Enraf-Nonius CAD4
Strahlung	$\text{MoK}\alpha$ , Graphit-Monochromator	$\text{CuK}\alpha$ , Graphit-Monochromator	$\text{CuK}\alpha$ , Graphit-Monochromator
Meßtemperatur	$20^\circ\text{C}$	$-40^\circ\text{C}$	$-40^\circ\text{C}$
Zahl der Reflexe zur Berechnung der Gitterkonstanten	25	25	25
Meßbereich, Abtastungsmodus	$\theta = 2,5\text{--}25,0^\circ$ , $\omega$ -Scan	$\theta = 3,0\text{--}59,0^\circ$ , $\omega$ -Scan	$\theta = 2,9\text{--}60,0^\circ$ , $\omega$ -Scan
Zahl der gemessenen Reflexe	5494	10128	14971
Zahl der unabhängigen Reflexe	5164 [ $R_{\text{int}} = 0,0098$ ]	9802 [ $R_{\text{int}} = 0,0980$ ]	11201 [ $R_{\text{int}} = 0,1215$ ]
Zahl der beobachteten Reflexe mit $I > 2\sigma(I)$	4248	3466	6876
Korrekturen	Lorentz- und Polarisationsfaktor, empirische Absorptionskorrektur, $\mu(\text{MoK}\alpha) = 8,40 \text{ cm}^{-1}$ Direkte Methoden Vollmatrix gegen $F^2$ H-Atomlagen in berechneten Positionen	Lorentz- und Polarisationsfaktor, empirische Absorptionskorrektur, $\mu(\text{CuK}\alpha) = 135,90 \text{ cm}^{-1}$ Direkte Methoden Vollmatrix gegen $F^2$ H-Atomlagen in berechneten Positionen	Lorentz- und Polarisationsfaktor, empirische Absorptionskorrektur, $\mu(\text{CuK}\alpha) = 213,71 \text{ cm}^{-1}$ Direkte Methoden Vollmatrix gegen $F^2$ H-Atomlagen in berechneten Positionen
Strukturaufklärung			
Verfeinerung			
Bemerkungen			
Anzahl der Parameter	281	721	723
Rechenprogramme	SHELXS-86 [27] SHELXL-93 [27] SHELXTL-Plus [28]	SHELXS-86 [27] SHELXL-93 [27] SHELXTL-Plus [28] DIFABS [29]	SHELXL-86 [27] SHELXTL-93 [27] SHELXTL-Plus [28] DIFABS [29]
Atomformfaktoren, $Af$ , $Af'$	Internationale Tabellen, Vol. C	Internationale Tabellen, Vol. C	Internationale Tabellen, Vol. C
$R = \sum   F_o  -  F_c   / \sum  F_o $	0,030	0,077	0,066
wR <sub>2</sub> (alle Daten)	0,086	0,2110	0,1711

(R = CH<sub>3</sub>, C<sub>6</sub>H<sub>5</sub>) umgesetzt, wobei zunächst nur die (1:1)-Donor-Acceptor-Komplexe entstehen. Die Kristallstrukturanalyse des Phenylderivates **5** zeigt das Zirconiumatom in der seltenen trigonal-bipyramidalen Koordination mit dem N-Atom des



Phosphanimin-Liganden in der Äquatorialposition (Abb. 1).



**Abb. 1** Ansicht der Struktur des Donor-Acceptor-Komplexes **5** (ohne H-Atome), Ellipsoide der thermischen Schwingung mit 50% Aufenthaltswahrscheinlichkeit

Der Diederwinkel Si-N-P/Cl(3)-Zr-Cl(4) beträgt nur 5,0(1) $^\circ$ , so daß nahezu Coplanarität des Phosphanimingerüstes mit den äquatorial angeordneten Chloratomen erreicht wird. Erwartungsgemäß sind die Zr-Cl-Abstände der axial angeordneten Chloratome Cl(1,2) mit 243,2 und 241,5 pm deutlich länger als die der beiden äquatorial gebundenen Chloratome Cl(3,4) mit 238,2 und 234,2 pm. Insgesamt sind diese Abstände deutlich länger als die terminalen Zr-Cl-Bindungen in [ZrCl<sub>4</sub>]<sub>n</sub> [13] mit 231 pm, während die terminalen ZrCl-Bindungen in (S<sub>4</sub>N<sub>4</sub>Cl)<sub>2</sub>[Zr<sub>2</sub>Cl<sub>10</sub>] [14] mit 240,8 pm etwa den axialen Zr-Cl-Bindungslängen in **5** entsprechen. Etwas längere ZrCl-Abstände werden im [ZrF<sub>2</sub>Cl<sub>4</sub>]<sup>2-</sup>-Ion [15] mit 244,2 pm und im [ZrCl<sub>6</sub>]<sup>2-</sup>-Ion [16] mit etwa 247 pm angetroffen.

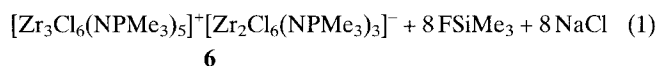
**5** enthält pro Formeleinheit etwa 0,5 Moleküle CH<sub>2</sub>Cl<sub>2</sub>, die in zwei Positionen um ein Symmetriezentrum fehlgeordnet sind. Restliche Elektronendichte läßt sich als in Spuren eingelagertes Toluol deuten. Beide Einschlüsse lassen sich i. Vak. vollständig entfernen.

Obwohl die Si-N-Bindung in **5** gegenüber dem nichtkoordinierten Phosphanimin-Molekül [17] um

**Tabelle 2** Ausgewählte Bindungslängen [pm] und -winkel [ $^\circ$ ] in [ZrCl<sub>4</sub>(Me<sub>3</sub>SiNPPh<sub>3</sub>)] (**5**)

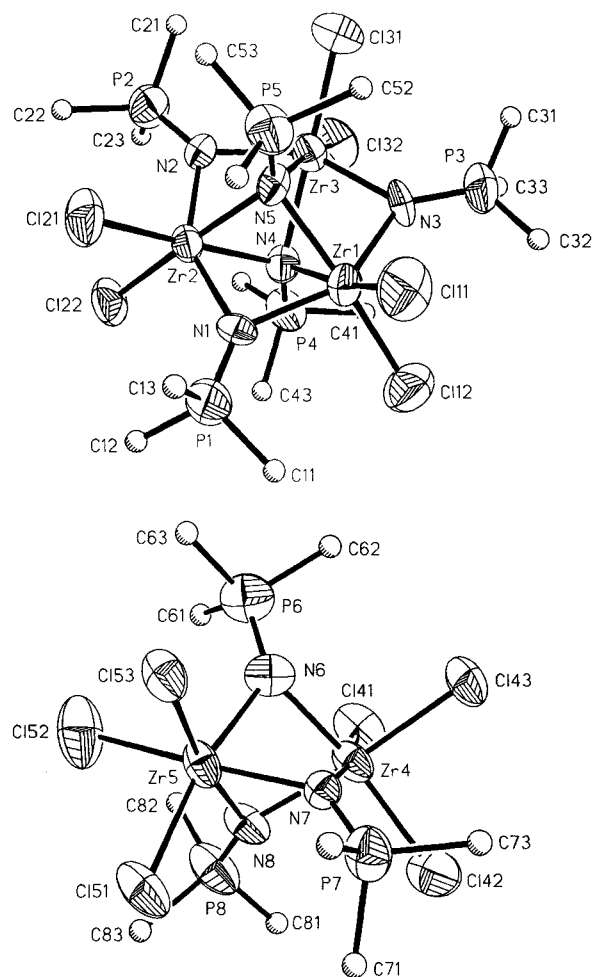
Zr-N	216,8(2)	Si-N	179,4(2)
Zr-Cl(1)	243,17(8)	P-N	161,5(2)
Zr-Cl(2)	241,47(8)	Si-C	184,9-186,8(4)
Zr-Cl(3)	238,23(9)	P-C	179,7-180,8(1)
Zr-Cl(4)	234,21(9)		
Cl(1)-Zr-Cl(2)	174,59(3)	N-Zr-Cl(1)	88,65(6)
Cl(1)-Zr-Cl(3)	88,00(4)	N-Zr-Cl(2)	89,07(6)
Cl(1)-Zr-Cl(4)	92,34(3)	N-Zr-Cl(3)	141,09(6)
Cl(2)-Zr-Cl(3)	90,69(4)	N-Zr-Cl(4)	111,99(6)
Cl(2)-Zr-Cl(4)	93,06(3)	Zr-N-Si	121,33(11)
Cl(3)-Zr-Cl(4)	106,88(3)	Zr-N-P	116,17(11)
		Si-N-P	122,41(13)

11 pm gedehnt wird, läßt sich eine Trimethylchlorsilan-Abspaltung selbst >220 °C nicht erreichen. Erst wenn man den Schmelzen Natriumfluorid zusetzt und zu den am Phosphoratom methylierten Derivaten übergeht, findet Reaktion statt [Gl. (1), (2)].

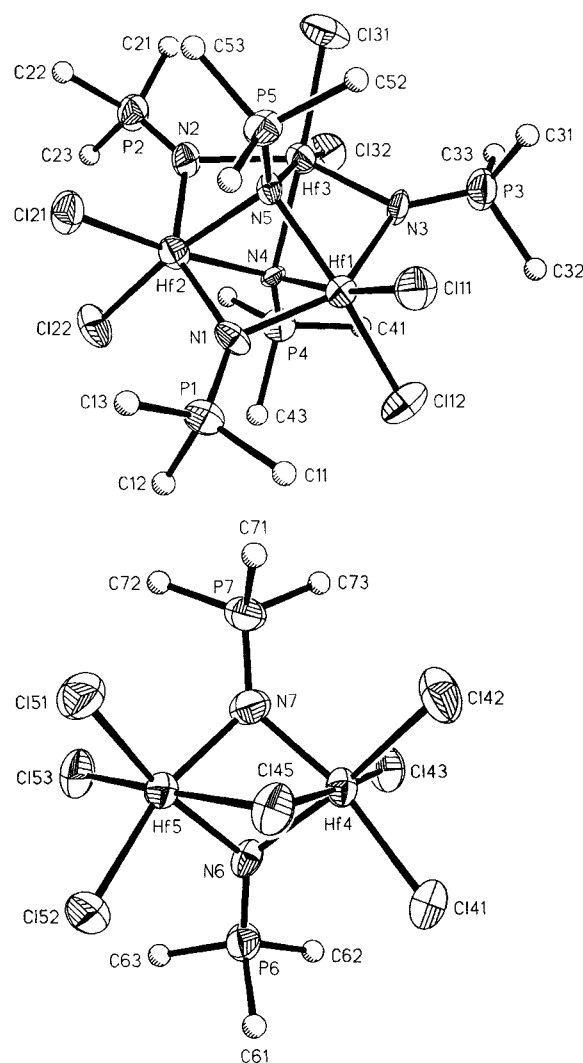


Aus den erstarrten Reaktionsschmelzen lassen sich **6** und **7** nach Extraktion mit Dichlormethan als farblose, feuchtigkeitsempfindliche Einkristalle erhalten. Nach den Kristallstrukturanalysen haben beide Komplexe ionischen Aufbau mit einer clusterähnlichen Struktur der Kationen sowie Anionen, in denen die Metallatome in **6** durch  $\mu_2$ -N-Brücken dreier Phosphaniminato-Liganden, in **7** über zwei  $\mu_2$ -N-Brücken und eine  $\mu_2$ -Cl-Brücke flächenverknüpfte Doppeloktaeder bilden (Abb. 2 und 3). In den analog aufgebauten Kationen von **6** und **7** werden die Metallatome über zwei  $\mu_3$ -N-Brücken zu einem nahezu idealen gleichseitigen Dreieck verknüpft, während drei weitere NPM<sub>3</sub><sup>-</sup>-Liganden mit  $\mu_2$ -N-Brücken die Kanten dieses Dreiecks mit nahezu gleich langen M-N-Bindungen besetzen, so daß lokale D<sub>3h</sub>-Symmetrie resultiert.

Beim Vergleich der Kationen von **6** und **7** fallen die um durchschnittlich drei pm kürzeren Hf-N-Abstände der  $\mu_3$ -verbrückenden Liganden bei konstanten M-N-M-Bindungswinkeln von nahe 90° auf, so daß auch die Hf-Hf-Abstände etwa drei pm kürzer sind als die Zr-Zr-Abstände. Naturgemäß sind die Metall-N-Bindungen der  $\mu_3$ -N-Ligandatome deutlich länger als die der  $\mu_2$ -N-Atome, bei **6** um 10 pm, bei **7** um acht pm. Die Metall-N-Abstände der  $\mu_2$ -gebundenen Phosphaniminato-Liganden sind nur wenig länger als die



**Abb. 2** Ansicht von Kation und Anion in der Struktur von **6** in getrennter Darstellung (ohne H-Atome und ohne Fehlordinungsverhalten der C-Atome an P(3)). Wegen der besseren Übersichtlichkeit sind die Ellipsoide der thermischen Schwingung des Anions nur mit 30% Aufenthaltswahrscheinlichkeit wiedergegeben, alle anderen mit 50%.



**Abb. 3** Ansicht von Kation und Anion in der Struktur von **7** in getrennter Darstellung (ohne H-Atome und ohne Fehlordinungsverhalten der C-Atome an P(2) und P(3)). Ellipsoide der thermischen Schwingung mit 50% Aufenthaltswahrscheinlichkeit.

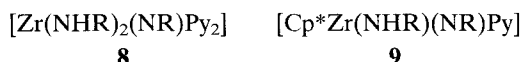
**Tabelle 3** Ausgewählte, gemittelte Bindungslängen [pm] und -winkel [ $^\circ$ ] in  $[\text{Zr}_3\text{Cl}_6(\text{NPMe}_3)_5][\text{Zr}_2\text{Cl}_6(\text{NPMe}_3)_3] \cdot 3 \text{CH}_2\text{Cl}_2$  (**6**)

Zr(1,2,3)-Cl	242,8(5)	Zr(4,5)-Cl	248,7(6)
Zr-N(1,2,3)	216(1)	Zr(4,5)-N	215(1)
Zr-N(4,5)	226,5(9)	P(6,7,8)-N	159(2)
P(1,2,3)-N	160(1)	Zr(1,2,3)…Zr	316,7(2)
P(4,5)-N	161,9(9)	Zr(4)…Zr(5)	299,4(3)
Zr-N(1,2,3)-Zr	88,7(4)	Cl-Zr(4,5)-Cl	91,5(2)
Zr-N(4,5)-Zr	94,2(5)	Zr(1,2,3)-N-P(1,2,3)	132,9(7)
Zr(4)-N-Zr(5)	88,2(6)	Zr(1,2,3)-N-P(4,5)	126,1(6)
Cl-Zr(1,2,3)-Cl	92,6(2)	Zr(4,5)-N-P(6,7,8)	133,6(7)

**Tabelle 4** Ausgewählte, gemittelte Bindungslängen [pm] und -winkel [ $^\circ$ ] in  $[\text{Hf}_3\text{Cl}_6(\text{NPMe}_3)_5][\text{Hf}_2\text{Cl}_7(\text{NPMe}_3)_2] \cdot 5 \text{CH}_2\text{Cl}_2$  (**7**)

Hf(1,2,3)-Cl	240,9(5)	Hf(4,5)-Cl <sub>term.</sub>	243,2(5)
Hf-N(1,2,3)	215(1)	Hf(4,5)-Cl <sub>br.</sub>	265,0(4)
Hf-N(4,5)	223,6(9)	Hf(4,5)-N	212(1)
P(1,2,3)-N	159(1)	P(6,7)-N	160(1)
P(4,5)-N	164,6(9)	Hf(1,2,3)…Hf	313,9(1)
		Hf(4)…Hf(5)	309,9(1)
Hf-N(1,2,3)-Hf	93,7(5)	Cl <sub>term.</sub> -Hf(4,5)-Cl <sub>term.</sub>	93,6(2)
Hf-N(4,5)-Hf	89,1(4)	Hf(4)-Cl(45)-Hf(5)	71,5(1)
Hf(4)-N-Hf(5)	94,1(5)	Hf(1,2,3)-N-P(1,2,3)	133,1(8)
Cl-Hf(1,2,3)-Cl	92,5(2)	Hf(1,2,3)-N-P(4,5)	125,9(6)
		Hf(4,5)-N-P(6,7)	132,6(8)

Mittelwerte von  $\eta^1$ -gebundenen Amido-Liganden wie in **8**



(R = 2,6-<sup>i</sup>PrC<sub>6</sub>H<sub>5</sub>; Cp = C<sub>5</sub>Me<sub>5</sub>)

(214,2 pm [18]), **9** (210,6 pm [19]) und **10** (209,0 pm [19]).



**10**

Deutlich kürzere M-N-Abstände werden in **11** (200,9 pm [19])



**11**

**12**

und **12** (203,9 pm [20]) beobachtet. Die  $\mu_2$ -N-gebundenen Imido-Liganden (NPh)<sup>2-</sup> in **10** (206,7 pm [19]) sind dagegen trotz ihrer zweifach negativen Ladung nur wenig kürzer als die  $\mu_2$ -N-gebundenen (NPMe<sub>3</sub>)<sup>-</sup>-Liganden in **6** und **7**. Die M-N-M-Bindungswinkel an den  $\mu_2$ -N-Atomen von Kationen und Anionen, die alle planare Umgebung entsprechend sp<sup>2</sup>-Hybridisierung aufweisen, sind nahezu gleich groß und insgesamt nur etwa 5° größer als an den  $\mu_3$ -N-Atomen. Die M-N-M-Bindungswinkel scheinen nur wenig anpassungsfähig zu sein, da das [V<sub>3</sub>Cl<sub>6</sub>(NPMe<sub>3</sub>)<sub>5</sub>]<sup>+</sup>-Ion [21] wegen der kurzen V···V-Abstände von 289 pm eine kantenüberbrückende  $\mu_2$ -N-Koordination nicht mehr zuläßt, so daß diese NPMe<sub>3</sub><sup>-</sup>-Gruppen monofunktionell gebunden sind. In dem analogen Titankomplex [Ti<sub>3</sub>Cl<sub>6</sub>(NPMe<sub>3</sub>)<sub>5</sub>]<sup>+</sup> [22] ist diese Frage wegen der Fehlordnung der Titanatome nicht zu beantworten. Die Metallatome der Kationen von **6** und **7** ergänzen ihre Koordinationszahl zu sechs durch je zwei terminale Chloratome, deren M-Cl-Abstände nur geringfügig länger sind als die terminalen M-Cl-Bindungen in Zr<sub>2</sub>Cl<sub>10</sub><sup>2-</sup> mit 240,8 pm [14] und in Hf<sub>2</sub>Cl<sub>10</sub><sup>2-</sup> mit 239,2 pm [23].

In den Anionen von **6** und **7** (Abb. 2 und 3) sind die M-N-Abstände nur wenig kürzer als die der  $\mu_2$ -N-Brücken in ihren Kationen. Dennoch ist der Zr···Zr-Kontakt in **6** 17 pm kürzer als im Kation, während der Hf···Hf-Abstand im Anion von **7** wegen der zugleich fungierenden Hf-Cl-Hf-Brücke nur vier pm kürzer ist als im Kation. Die Chlorobrücke im Anion von **7** ermöglicht offenbar einen Hf···Hf-Abstand, der noch keine Abstoßung der Metallatome bewirkt, wie er bei Vorliegen dreier  $\mu_2$ -N-Brücken mit einem geschätzten Abstand von 296 pm wegen der <sup>14</sup>f-Orbitalexpansion [24] bereits zu erwarten wäre. Vermutlich liegt hierin auch die Ursache für die verschieden zusammengesetzten Anionen von **6** und **7** trotz vergleichbarer Reaktionsbedingungen bei ihrer Synthese [Gl. (1), (2)].

## Experimenteller Teil

Die Versuche erfordern Ausschluß von Feuchtigkeit. Die verwendeten Lösungsmittel wurden entsprechend getrocknet

und jeweils vor Gebrauch frisch destilliert. Die Tetrachloride von Zirconium und Hafnium erhielten wir aus den Elementen; zur Reinigung wurde i. Vak. umsublimiert. Die silylierten Phosphanimine Me<sub>3</sub>SiNPPPh<sub>3</sub> und Me<sub>3</sub>SiNPMe<sub>3</sub> wurden nach Literaturangaben [25, 26] aus den handelsüblichen Edukten PPh<sub>3</sub> und PMe<sub>3</sub> mit Me<sub>3</sub>SiN<sub>3</sub> (Merck) durch Staudinger-Reaktion erhalten und zur Reingung destilliert. Für die IR-Spektren stand das Bruker-Gerät IFS-88 zur Verfügung, CsBr- und Polyethylenscheiben, Nujolverreibungen.

**[ZrCl<sub>4</sub>(Me<sub>3</sub>SiNPPPh<sub>3</sub>)] (5):** Man suspendiert 1,01 g ZrCl<sub>4</sub> (4,33 mmol) und 1,51 g Me<sub>3</sub>SiNPPPh<sub>3</sub> (4,33 mmol) [25] in 70 ml Toluol, röhrt 12 h, filtriert den Niederschlag und kristallisiert aus 40 ml CH<sub>2</sub>Cl<sub>2</sub> um. Ausbeute 1,84 g (73%). IR-Spektrum (Nujol), cm<sup>-1</sup>: 1103 st ( $\nu_{as}$  SiNP), 372 st, 343 st, 330 vst, 311 m ( $\nu$ ZrCl).

C<sub>21</sub>H<sub>24</sub>Cl<sub>4</sub>NPSiZr (582,53)

Analysen: C 44,67 (ber. 43,29); H 4,62 (4,15); N 2,23 (2,41); Cl 22,13 (24,34)%.

**[Zr<sub>3</sub>Cl<sub>6</sub>(NPMe<sub>3</sub>)<sub>5</sub>][Zr<sub>2</sub>Cl<sub>6</sub>(NPMe<sub>3</sub>)<sub>3</sub>] (6):** Man erhitzt eine Mischung aus 1,83 g ZrCl<sub>4</sub> (7,85 mmol), 2,9 ml Me<sub>3</sub>SiNPMe<sub>3</sub>

**Tabelle 5** Atomkoordinaten ( $\times 10^4$ ) und äquivalente isotrope Temperaturfaktoren ( $\text{\AA}^2 \times 10^3$ ) für [ZrCl<sub>4</sub>(Me<sub>3</sub>SiNPPPh<sub>3</sub>)] · 0,5 CH<sub>2</sub>Cl<sub>2</sub> (**5**) bei 20 °C. U(eq) ist definiert als ein Drittel der Spur des orthogonalisierten U<sub>ij</sub>-Tensors

Atom	x	y	z	U(eq)
Zr	685(1)	4435(1)	2671(1)	40(1)
P	3806(1)	4494(1)	2896(1)	37(1)
Cl(1)	95(1)	3918(1)	4060(1)	70(1)
Cl(2)	1356(1)	5108(1)	1327(1)	68(1)
Cl(3)	-1635(1)	6803(1)	2983(1)	65(1)
Cl(4)	-61(1)	2686(1)	2313(1)	69(1)
Si	4397(1)	1395(1)	2424(1)	59(1)
N	3167(2)	3391(2)	2650(1)	40(1)
C(12)	1802(2)	7395(2)	2604(1)	50(1)
C(13)	594(2)	8860(2)	2812(1)	64(1)
C(14)	-250(2)	9284(2)	3597(1)	73(1)
C(15)	115(2)	8244(2)	4174(1)	69(1)
C(16)	1323(2)	6779(2)	3966(1)	53(1)
C(11)	2167(2)	6355(2)	3181(1)	39(1)
C(22)	5745(2)	5816(2)	2194(1)	52(1)
C(23)	6694(3)	6152(3)	1553(1)	67(1)
C(24)	7045(3)	5506(3)	805(1)	83(1)
C(25)	6447(3)	4523(3)	698(1)	88(1)
C(26)	5498(3)	4187(2)	1340(1)	62(1)
C(21)	5147(2)	4834(2)	2087(1)	43(1)
C(32)	6048(2)	3789(2)	3771(1)	47(1)
C(33)	6643(2)	3217(2)	4422(1)	57(1)
C(34)	5844(2)	2657(2)	5026(1)	61(1)
C(35)	4450(2)	2668(3)	4980(1)	65(1)
C(36)	3855(2)	3240(2)	4329(1)	54(1)
C(31)	4654(2)	3800(2)	3725(1)	41(1)
C(41)	4273(5)	923(4)	1450(3)	92(1)
C(42)	6500(4)	860(4)	2377(3)	86(1)
C(43)	3670(6)	333(4)	3190(3)	97(1)
C(5)	1420(3)	-244(16)	598(9)	187(11)
Cl(5)	1339(19)	1300(16)	21(8)	466(13)
Cl(6)	170(2)	-970(2)	444(13)	540(3)

**Tabelle 6** Atomkoordinaten ( $\times 10^4$ ) und äquivalente isotrope Temperaturfaktoren ( $\text{\AA}^2 \times 10^3$ ) für  $[\text{Zr}_3\text{Cl}_6(\text{NPMe}_3)_5][\text{Zr}_2\text{Cl}_6(\text{NPMe}_3)_3] \cdot 3 \text{CH}_2\text{Cl}_2$  (6) bei  $-40^\circ\text{C}$ . U(eq) ist definiert als ein Drittel der Spur des orthogonalisierten  $U_{ij}$ -Tensors

Atom	x	y	z	U(eq)
Zr(1)	3030(1)	6662(1)	415(1)	54(1)
Zr(2)	2541(1)	8926(1)	-38(1)	49(1)
Zr(3)	1902(1)	6584(1)	-383(1)	55(1)
P(1)	3767(3)	9171(5)	827(2)	80(2)
P(2)	1353(3)	9000(5)	-915(2)	84(2)
P(3)	2366(3)	4049(5)	81(2)	86(2)
P(4)	1210(3)	7617(5)	431(2)	70(2)
P(5)	3770(3)	7208(5)	-433(2)	79(2)
Cl(11)	4298(3)	5920(5)	539(2)	105(2)
Cl(12)	2757(3)	6058(5)	1042(1)	104(2)
Cl(21)	3414(3)	10261(4)	-264(2)	89(2)
Cl(22)	1746(2)	10465(4)	131(2)	78(1)
Cl(31)	2136(3)	5655(5)	-968(2)	107(2)
Cl(32)	584(2)	6025(5)	-477(2)	101(2)
N(1)	3243(6)	8467(11)	498(3)	50(4)
N(2)	1816(6)	8338(11)	-553(3)	54(4)
N(3)	2430(7)	5391(11)	48(4)	61(4)
N(4)	1900(6)	7485(11)	186(4)	53(4)
N(5)	3075(6)	7334(11)	-195(3)	47(4)
C(11)	4025(13)	8449(21)	1255(6)	149(11)
C(12)	3374(13)	10436(18)	926(7)	173(14)
C(13)	4659(14)	9523(28)	707(7)	206(18)
C(21)	1224(16)	8190(25)	-1341(6)	207(17)
C(22)	1713(15)	10372(26)	-990(7)	183(14)
C(23)	411(13)	9319(24)	-839(7)	156(13)
C(31)	2580(34)	3329(31)	-246(15)	634(91)
C(32)	2846(26)	3453(27)	449(13)	438(49)
C(33)	1543(21)	3583(26)	67(20)	773(104)
C(41)	848(10)	6274(18)	564(6)	108(8)
C(42)	395(8)	8261(15)	176(6)	84(6)
C(43)	1449(10)	8386(17)	853(5)	91(7)
C(51)	4629(9)	7870(18)	-191(7)	107(8)
C(52)	4018(10)	5758(18)	-501(7)	109(8)
C(53)	3585(13)	7838(19)	-901(6)	122(9)
Zr(4)	-51(1)	8359(2)	2153(1)	88(1)
Zr(5)	582(1)	7078(2)	2871(1)	85(1)
Cl(41)	-33(3)	7679(7)	1477(2)	135(3)
Cl(42)	376(3)	10273(7)	1986(2)	151(3)
Cl(43)	-1390(3)	8965(6)	1998(2)	111(2)
Cl(51)	1583(3)	7823(7)	3385(2)	126(3)
Cl(52)	1200(4)	5222(8)	2860(2)	172(3)
Cl(53)	-159(3)	6428(6)	3376(1)	105(2)
P(6)	-684(4)	5617(8)	2201(2)	130(3)
P(7)	80(4)	9838(7)	3002(2)	112(2)
P(8)	1824(3)	7595(8)	2222(2)	132(3)
N(6)	-307(8)	6746(15)	2390(4)	91(5)
N(7)	40(7)	8654(13)	2762(4)	65(4)
N(8)	1073(7)	7747(16)	2389(4)	90(6)
C(61)	-80(18)	4823(30)	1913(8)	231(19)
C(62)	-1523(13)	5936(24)	1862(7)	155(12)
C(63)	-945(15)	4637(26)	2533(10)	182(14)
C(71)	980(13)	10593(26)	3023(8)	170(13)
C(72)	-46(13)	9651(25)	3504(6)	150(12)
C(73)	-606(14)	10881(20)	2824(7)	145(10)
C(81)	2037(12)	8714(28)	1918(6)	176(15)

**Tabelle 6 (Fortsetzung)**

Atom	x	y	z	U(eq)
C(82)	1773(16)	6198(30)	1909(9)	207(18)
C(83)	2641(11)	7447(30)	2596(6)	183(17)
Cl(2)	1423(6)	1565(11)	1030(5)	195(7)
Cl(3)	1091(9)	3588(13)	1323(5)	244(9)
C(2)	1399(20)	2358(34)	1396(11)	140(16)
Cl(4)	7064(5)	3709(10)	1840(3)	183(5)
Cl(5)	7561(5)	1681(12)	2243(4)	251(7)
C(3)	6845(16)	2648(29)	2152(7)	144(14)
Cl(6)	6361(8)	6919(12)	1157(4)	272(8)
Cl(7)	6370(5)	9002(12)	1481(4)	242(7)
C(4)	6791(24)	7873(29)	1405(16)	274(32)

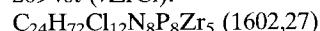
**Tabelle 7** Atomkoordinaten ( $\times 10^4$ ) und äquivalente isotrope Temperaturfaktoren ( $\text{\AA}^2 \times 10^3$ ) für  $[\text{Hf}_3\text{Cl}_6(\text{NPMe}_3)_5][\text{Hf}_2\text{Cl}_7(\text{NPMe}_3)_2] \cdot 5 \text{CH}_2\text{Cl}_2$  (7) bei  $-40^\circ\text{C}$ . U(eq) ist definiert als ein Drittel der Spur des orthogonalisierten  $U_{ij}$ -Tensors

Atom	x	y	z	U(eq)
Hf(1)	7373(1)	9272(1)	3090(1)	35(1)
Hf(2)	6083(1)	8130(1)	2389(1)	35(1)
Hf(3)	7900(1)	9189(1)	1381(1)	37(1)
Cl(11)	6842(4)	10583(3)	3775(3)	52(1)
Cl(12)	8420(4)	8728(4)	3870(3)	63(2)
Cl(21)	4298(3)	8334(3)	2444(3)	48(1)
Cl(22)	5973(4)	6552(3)	2516(3)	57(1)
Cl(31)	7802(5)	10396(4)	521(3)	68(2)
Cl(32)	9440(4)	8559(4)	591(3)	63(2)
P(1)	5440(4)	8129(3)	4282(3)	43(1)
P(2)	6575(4)	8002(4)	512(3)	48(1)
P(3)	9379(4)	10469(4)	2055(3)	55(2)
P(4)	8528(4)	7328(3)	2354(3)	41(1)
P(5)	5688(4)	10382(3)	2239(3)	41(1)
N(1)	6084(10)	8455(9)	3480(7)	34(3)
N(2)	6758(10)	8343(9)	1241(8)	36(3)
N(3)	8491(10)	9817(10)	2146(7)	37(4)
N(4)	7711(9)	8161(9)	2327(6)	23(3)
N(5)	6492(8)	9541(8)	2268(7)	26(3)
C(11)	5749(19)	8667(16)	5004(11)	70(7)
C(12)	5615(20)	7013(13)	4493(12)	78(8)
C(13)	4098(16)	8332(19)	4449(12)	78(8)
C(21)	7258(33)	8448(30)	-280(17)	213(28)
C(22)	5340(26)	8184(42)	449(19)	285(42)
C(23)	6706(58)	6910(22)	437(25)	377(61)
C(31)	9072(29)	11515(23)	2042(32)	256(34)
C(32)	9965(24)	10297(22)	2770(18)	122(13)
C(33)	10374(24)	10323(28)	1296(19)	182(22)
C(41)	9815(13)	7652(13)	2269(12)	50(5)
C(42)	8635(15)	6611(12)	1662(11)	49(5)
C(43)	8185(16)	6667(13)	3197(10)	50(5)
C(51)	4664(14)	10403(14)	3065(11)	56(6)
C(52)	6286(17)	11418(13)	2115(13)	60(6)
C(53)	5079(16)	10377(15)	1506(11)	58(6)
Hf(4)	2681(1)	2988(1)	2573(1)	39(1)
Hf(5)	1096(1)	4530(1)	2572(1)	40(1)
Cl(41)	4074(3)	2684(3)	1469(3)	51(1)
Cl(42)	2255(4)	1436(4)	2755(4)	72(2)

**Tabelle 7** (Fortsetzung)

Atom	x	y	z	U(eq)
Cl(43)	3760(4)	2888(4)	3382(3)	56(1)
Cl(45)	1412(3)	3180(3)	1727(3)	51(1)
Cl(51)	-730(4)	4344(4)	2793(3)	64(2)
Cl(52)	1146(4)	5480(4)	1465(3)	60(1)
Cl(53)	857(4)	5709(4)	3379(3)	62(1)
P(6)	3597(4)	4979(3)	1860(3)	49(1)
P(7)	563(4)	3041(4)	4035(3)	49(1)
N(6)	2706(9)	4362(9)	2312(8)	35(4)
N(7)	1316(11)	3450(11)	3296(8)	48(4)
C(61)	3849(15)	4968(16)	883(11)	63(6)
C(62)	4776(16)	4660(15)	2057(14)	71(7)
C(63)	3337(18)	6100(13)	2085(14)	70(7)
C(71)	-326(18)	2346(19)	3817(15)	91(9)
C(72)	-203(20)	3820(19)	4597(14)	91(9)
C(73)	1243(21)	2379(19)	4574(13)	93(9)
Cl(1)	7724(7)	5485(6)	4872(5)	111(3)
Cl(2)	6887(7)	3955(6)	5763(6)	131(3)
C(1)	7116(22)	5073(19)	5772(18)	104(10)
Cl(3)	5642(6)	4653(5)	3999(5)	106(2)
Cl(4)	6704(6)	2969(5)	3588(5)	112(3)
C(2)	6670(26)	4114(20)	3445(24)	164(19)
Cl(5)	6664(6)	2713(6)	169(5)	108(2)
Cl(6)	2485(6)	8174(6)	1174(4)	107(3)
C(3)	2202(17)	7568(18)	498(15)	86(9)
Cl(7)	1463(7)	8233(8)	3819(6)	139(3)
Cl(8)	1615(8)	9636(7)	4741(7)	149(4)
C(4)	1430(38)	9306(25)	4002(27)	263(38)
Cl(9)	9573(7)	3418(7)	375(5)	138(4)
Cl(10)	7768(10)	4361(12)	1165(11)	269(10)
C(5)	9025(30)	4327(33)	801(26)	274(40)

(16,07 mmol) [26] und 0,36 g NaF (8,57 mmol) 3 h auf 220°C, kondensiert überschüssiges Phosphanimin i. Vak. ab und extrahiert nach dem Abkühlen den Rückstand mit 30 ml CH<sub>2</sub>Cl<sub>2</sub>. Zugabe von 3 ml n-Hexan und Ruhigstellen des Ansatzes führt zu 1,28 g blaßgelben Einkristallen (57%), die beim Evakuieren das eingelagerte CH<sub>2</sub>Cl<sub>2</sub> abgeben. IR-Spektrum (Nujol), cm<sup>-1</sup>: 1021 vst, 950 st (vPN), 330 sh, 305 sh, 269 vst (vZrCl).



Analysen: C 18,27 (ber. 17,99); H 5,32 (4,53); N 6,86 (6,99); Cl 26,88 (26,55)%.

[Hf<sub>3</sub>Cl<sub>6</sub>(NPMe<sub>3</sub>)<sub>5</sub>][Hf<sub>2</sub>Cl<sub>7</sub>(NPMe<sub>3</sub>)<sub>2</sub>] (**7**): Man arbeitet wie für **6** beschrieben. 2,31 g HfCl<sub>4</sub> (7,21 mmol), 2,25 ml Me<sub>3</sub>SiNPMe<sub>3</sub> (13,00 mmol), 0,55 g NaF (13,00 mmol). Man isoliert 1,77 g farblose Kristallnadeln (10%). Einengen des Filtrats erhöht die Ausbeute an Rohprodukt. IR-Spektrum (Nujol), cm<sup>-1</sup>: 1062 st, 1006 st, 945 st (vPN), 294 st, 267 st (vHfCl), 220 sh (vHfClHf).



Analysen: C 13,02 (ber. 12,71); H 3,84 (3,20); N 4,75 (4,94)%.

Der Deutschen Forschungsgemeinschaft und dem Fonds der Chemischen Industrie danken wir für großzügige finanzielle Unterstützung.

## Literatur

- [1] K. Dehnicke, J. Strähle, *Polyhedron* **1989**, *8*, 707.
- [2] D. S. Williams, M. H. Schofield, J. T. Anhaus, R. R. Schrock, *J. Am. Chem. Soc.* **1990**, *112*, 6728.
- [3] D. S. Williams, J. T. Anhaus, M. H. Schofield, R. R. Schrock, W. M. Davis, *J. Am. Chem. Soc.* **1991**, *113*, 5480.
- [4] G. Parkin, A. van Asselt, D. J. Leahy, L. Whinnery, N. G. Hua, R. W. Quan, L. M. Henling, W. P. Schaefer, B. D. Santarsiero, J. E. Bercaw, *Inorg. Chem.* **1992**, *31*, 82.
- [5] A. N. Chernega, M. L. H. Green, A. G. Suárez, *J. Chem. Soc., Dalton Trans.* **1993**, 3031.
- [6] S. R. Huber, T. C. Baldwin, D. E. Wigley, *Organometallics* **1993**, *12*, 91.
- [7] S. Schmidt, J. Sundermeyer, *J. Organomet. Chem.* **1994**, *472*, 127.
- [8] J. Sundermeyer, D. Runge, *Angew. Chem.* **1994**, *106*, 1328; *Angew. Chem. Int. Ed. Engl.* **1994**, *33*, 1255.
- [9] J. Sundermeyer, D. Runge, J. S. Field, *Angew. Chem.* **1994**, *106*, 679; *Angew. Chem. Int. Ed. Engl.* **1994**, *33*, 678.
- [10] T. Rübenstahl, F. Weller, S. Wocadlo, W. Massa, K. Dehnicke, *Z. Anorg. Allg. Chem.* **1995**, *621*, 953.
- [11] T. Rübenstahl, F. Weller, K. Harms, K. Dehnicke, D. Fenske, G. Baum, *Z. Anorg. Allg. Chem.* **1994**, *620*, 1741.
- [12] H.-J. Mai, R. Meyer zu Köcker, S. Wocadlo, W. Massa, K. Dehnicke, *Angew. Chem.* **1995**, *107*, 1349; *Angew. Chem. Int. Ed. Engl.* **1995**, *34*, 1235.
- [13] B. Krebs, *Angew. Chem.* **1969**, *81*, 120; *Angew. Chem. Int. Ed. Engl.* **1969**, *8*, 146.
- [14] J. Eicher, U. Müller, K. Dehnicke, *Z. Anorg. Allg. Chem.* **1985**, *521*, 37.
- [15] E. Hartmann, K. Dehnicke, D. Fenske, H. Goesmann, G. Baum, *Z. Naturforsch.* **1989**, *44 b*, 1155.
- [16] H. Schmidbaur, R. Pichl, G. Müller, *Z. Naturforsch.* **1986**, *41 b*, 395.
- [17] F. Weller, H.-C. Kang, W. Massa, T. Rübenstahl, F. Kunkel, K. Dehnicke, *Z. Naturforsch.* **1995**, *50 b*, 1050.
- [18] R. D. Profillet, C. H. Zambrano, P. E. Fanwick, J. J. Nash, I. P. Rothwell, *Inorg. Chem.* **1990**, *29*, 4362.
- [19] Y. Bai, H. W. Roesky, M. Noltemeyer, M. Witt, *Chem. Ber.* **1992**, *125*, 825.
- [20] C. C. Cummins, G. D. Van Duyne, C. P. Schaller, P. T. Wolczanski, *Organometallics* **1991**, *10*, 164.
- [21] T. Rübenstahl, K. Dehnicke, J. Magull, *Z. Anorg. Allg. Chem.* **1995**, *621*, 1218.
- [22] T. Rübenstahl, F. Weller, K. Harms, K. Dehnicke, D. Fenske, G. Baum, *Z. Anorg. Allg. Chem.* **1994**, *620*, 1741.
- [23] F. Calderazzo, P. Pallavicini, G. Pampaloni, P. F. Zanazzi, *J. Chem. Soc., Dalton Trans.* **1990**, 2743.
- [24] N. Wiberg, Hollemann-Wiberg Lehrbuch der Anorganischen Chemie, Walter de Gruyter, Berlin – New York, 101. Aufl., 1995.
- [25] L. Birkofe, A. Ritter, P. Richter, *Chem. Ber.* **1963**, *96*, 2750.
- [26] H. Schmidbaur, W. Wolfsberger, *Chem. Ber.* **1967**, *100*, 1000.
- [27] G. M. Sheldrick, *SHELXS-86, SHELXL-93, Programme zur Kristallstrukturanalyse*, Göttingen 1986, 1993.
- [28] G. M. Sheldrick, *SHELXTL-Plus. Release 4.2 for Siemens R3 Crystallographic Research Systems. Siemens Analytical X-Ray Instruments, Inc.*, Madison, Wisconsin, USA, 1990.
- [29] DIFABS, N. Walker, D. Stuart, *Acta Crystallogr.* **1983**, *A 39*, 158.